

Uma Breve Investigação Sobre Grafos B_1 -EPG $_t$

A Brief Investigation on B_1 -EPG $_t$ Graphs

Jackson Pereira dos Santos¹ e Tanilson Dias dos Santos¹

¹ Universidade Federal do Tocantins, Ciência da Computação, Tocantins, Palmas

Data de recebimento do manuscrito: 08/08/2023

Data de aceitação do manuscrito: 13/09/2023

Data de publicação: 16/10/2023

Resumo— Os grafos EPG correspondem exatamente à classe de grafos de aresta-interseção de caminhos sobre uma grade. A maioria dos resultados na literatura envolvendo grafos EPG consideram problemas onde o hospedeiro da representação é uma grade retangular simples que possui somente duas direções (horizontal e vertical). Neste trabalho de conclusão de curso iremos explorar uma nova classe dos grafos EPG, pouco estudada na literatura, os grafos B_1 -EPG $_t$. Definida como a classe dos grafos de aresta-interseção cujos caminhos possuem no máximo uma dobra e o hospedeiro da representação é uma grade triangular com 3 direções (horizontal, vertical e uma diagonal). Esta pesquisa contém resultados iniciais inéditos sobre a exploração da classe B_1 -EPG $_t$ e apresenta pontos interessantes para continuação da investigação.

Palavras-chave— Grafos de interseção, B_1 -EPG $_t$, Grades triangulares.

Abstract— EPG graphs correspond exactly to the class of edge-intersection graphs of paths on a grid. Most results in the literature involving EPG graphs consider problems where the host of the representation is a simple rectangular grid with only two directions (horizontal and vertical). In this undergraduate thesis, we will explore a new class of EPG graphs, which has been relatively less studied in the literature, the B_1 -EPG $_t$ graphs. This class is defined as the class of edge-intersection graphs whose paths have at most one bend, and the host of the representation is a triangular grid with three directions (horizontal, vertical, and one diagonal). This research contains novel initial results on the exploration of the B_1 -EPG $_t$ class and presents interesting points for further investigation.

Keywords— Intersection graphs, B_1 -EPG $_t$, Triangular grids

I. INTRODUÇÃO

Uma classe particular de grafos de interseção é a classe dos grafos EPG (Edge-intersection Graph of Paths on a Grid), definida por Golumbic et al em 2009 [1]. A classe de grafos EPG corresponde exatamente à classe de grafos que possuem um modelo de interseção sobre uma grade retangular, onde cada vértice é representado por um caminho na grade. Além disso, dois vértices são adjacentes, i.e. possuem uma aresta entre si, se e somente se, os caminhos correspondentes compartilham no mínimo uma aresta da representação.

A maioria dos resultados na literatura envolvendo grafos EPG consideram problemas em uma grade retangular simples, e.g. [2], [3],[4],[5],[6], [7] e [8]. Grades retangulares simples possuem somente duas direções (horizontal e vertical), veja Figura 1(a). Além desse modelo de grade, existem na literatura trabalhos que fazem uso da grade triangular *lattice*, e.g. [9] e [10], com 3 direções (vertical

e com duas diagonais), veja Figura 1(b). No contexto deste projeto estudaremos as representações de grafos de interseção de arestas sobre uma grade triangular com 3 direções (horizontal, vertical e uma diagonal), denotadas como B_k -EPG $_t$, veja Figura 1(c). Note que a grade representada na 1(b) corresponde exatamente à grade da 1(c) rotacionada adequadamente, isto é são ambas grades equivalentes, veja Figura 1(d).

Como os trabalhos envolvendo grafos EPG em geral, se limitam a representações sobre uma grade retangular tradicional, esperamos obter novos resultados com essa nova abordagem de representação de grafos introduzida por [11]. Neste contexto, o presente trabalho lança os seguintes questionamentos: A adição de uma nova direção na grade retangular, facilita a representação EPG de algum grafo? As classes B_k -EPG e B_k -EPG $_t$ coincidem, são distintas, estão contidas propriamente uma na outra ou são incomparáveis? Em tempo, também é um interessante problema de investigação saber se: dado um grafo G que é B_k -EPG existe uma representação B_{k-i} -EPG $_t$ para esse grafo, para algum $i \leq k$, onde i é inteiro e positivo?

Dados de contato: Tanilson Dias dos Santos, tanilson.dias@uft.edu.br

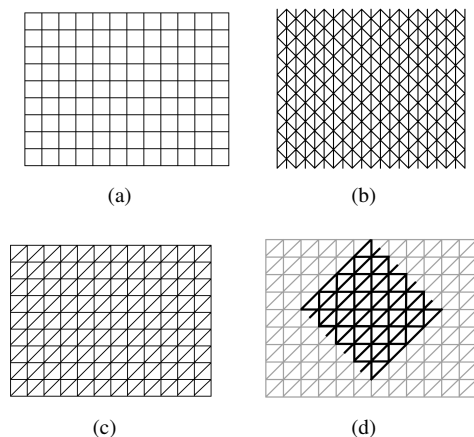


Figura 1: Representação de (a) grade retangular, (b) grade triangular *lattice*, (c) grade retangular e (d) grade *lattice* rotacionada

II. DEFINIÇÕES INICIAIS

Uma grade retangular é um espaço euclidiano de coordenadas ortogonais inteiras. Ela exerce a função de hospedeiro para as representações. A grade é hospedeira da representação porque suporta/hospeda os elementos (caminhos) que vamos utilizar, de forma similar ao que ocorre em outros modelos de representação, e.g. com os grafos arco-circulares, que utilizam respectivamente um círculo como base/hospedeiro para as representações, [12], [13],[14]. Na grade, hospedeira da representação, os pares de coordenadas inteiras correspondem a um ponto ou vértice da grade. A título de exemplo de grade, observe as grades ilustradas na Figura 1.

A sigla EPG é utilizada para denotar a classe de grafos de aresta-interseção de caminhos sobre uma grade. Uma representação EPG de um grafo G é um modelo de aresta-interseção de caminhos para G , denotada por $\langle \mathcal{P}, \mathcal{G} \rangle$ onde \mathcal{P} é o conjunto de caminhos e \mathcal{G} é a grade da representação. Dizemos que um grafo é um grafo EPG quando ele possui uma representação EPG. É comum também falarmos que $\langle \mathcal{P}, \mathcal{G} \rangle$ é uma representação B_k -EPG quando existe uma representação EPG para o grafo G onde todo caminho nesta representação pode ser representado com no máximo k -dobras, i.e. k mudanças de direção. Além disso, existe uma função bijetora entre os vértices do grafo G e os caminhos da representação. Uma vez que um grafo EPG é um grafo de interseção, a função bijetora correspondente pode ser descrita da seguinte forma:

- Cada vértice $v_i \in V(G)$ corresponde a exatamente um caminho $P_i \in \mathcal{P}$, onde \mathcal{P} consiste do conjunto de caminhos da representação EPG;
- Dois vértices $(v_i, v_j) \in E(G)$ se e somente se os caminhos correspondentes $P_{v_i}, P_{v_j} \in \mathcal{P}$ possuem interseção em pelo menos uma aresta da grade, i.e. $E(P_{v_i}) \cap E(P_{v_j}) \neq \emptyset$; e
- Além disso, se a representação é B_k -EPG, então todo caminho $P_i \in \mathcal{P}$ possui no máximo k -dobras.

A seguir, definiremos a classe que é o principal foco de estudos nesta pesquisa, a classe de grafos EPG $_T$, introduzida

por [11].

A classe de grafos EPG $_T$ corresponde exatamente à classe de grafos de aresta-interseção de caminhos sobre uma grade triangular. Essa classe está relacionada com a classe EPG, uma vez que a única diferença entre essas duas classes é o hospedeiro. Uma representação EPG $_T$ de um grafo G é um modelo de aresta-interseção de caminhos para G , denotada por $\langle \mathcal{P}, \mathcal{G}_T \rangle$ onde \mathcal{P} é o conjunto de caminhos e \mathcal{G}_T é a grade triangular. Além disso, denotamos por B_k -EPG $_T$ a representação $\langle \mathcal{P}, \mathcal{G}_T \rangle$ onde todo caminho possui no máximo k -dobras, i.e. k mudanças de direção. Analogamente ao definido para grafos EPG, um grafo EPG $_T$ também é um grafo de interseção com função bijetora descrita da mesma forma. Além disso, se a representação é B_k -EPG $_T$, então todo caminho $P_i \in \mathcal{P}$ possui no máximo k -dobras.

Nesta pesquisa utilizamos a grade triangular como hospedeiro para as representações EPG $_T$. Na grade triangular, análogo ao que ocorre na grade retangular, os pares de coordenadas inteiras correspondem a um ponto ou vértice da grade. A Figura 2 ilustra um exemplo de representação B_1 -EPG $_T$ para o ciclo C_6 na grade triangular.

Definição 1. *Uma generic true pie é um n -estrela tal que cada 'fatia' $(a_i, b) \cup (a_{i+1}, b)$ para $i = 1, \dots, n$ está contido em um membro diferente de \mathcal{P} , onde a adição é assumida como o módulo n . Em uma true pie, cada um dos n caminhos dobram no mesmo ponto além de respeitar a adjacência entre os caminhos do ciclo. Conforme a Figura 2.*

Definição 2. *Uma generic false pie é um n -estrela tal que cada 'fatia' $(a_1, b) \cup (a_4, b), (a_1, b) \cup (a_2, b), (a_2, b) \cup (a_5, b), (a_3, b) \cup (a_6, b), (a_3, b) \cup (a_4, b), (a_4, b) \cup (a_6, b)$, está contido em um membro diferente de \mathcal{P} , conforme a Figura 2. Em uma false pie, pelo menos dois dos caminhos dobram em b .*

Definição 3. *Dado um ponto c qualquer de uma grade triangular. Sejam r_1, r_2 e r_3 , respectivamente, as retas que cruzam c nas direções vertical, horizontal, diagonal. Então essas retas dividem o plano em 6 porções $P_1, P_2, P_3, P_4, P_5, P_6$.*

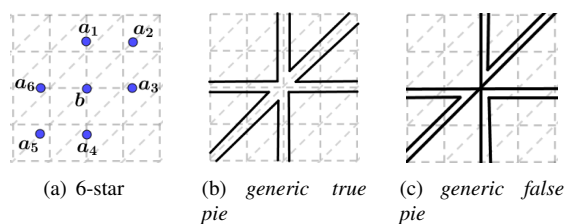


Figura 2: Representação B_1 -EPG $_T$ do C_6

A seguir, apresentamos uma seção com os resultados iniciais obtidos em nossa pesquisa.

III. RESULTADOS INICIAIS

O início da pesquisa nos traz alguns resultados interessantes que apresentamos a seguir. Primeiro, vamos provar que existe uma relação de continência própria entre as classes B_1 -EPG e B_1 -EPG $_T$, é o que nos mostra o Lema 4.

Lema 4. B_1 -EPG \subset B_1 -EPG $_T$.

Demonstração. Observe, em primeiro lugar, que o hospedeiro da representação B_1 -EPG $_t$ nada mais é do que uma grade B_1 -EPG com a adição de uma nova direção (diagonal). Dessa forma, essa observação é suficiente para provar que toda representação B_1 -EPG é também uma representação B_1 -EPG $_t$. Para provarmos que a continência é própria, é suficiente apresentar 1 grafo que possua representação B_1 -EPG $_t$ porém não possua representação B_1 -EPG. A Figura 3 ilustra a representação B_1 -EPG $_t$ dos grafos $K_{2,5}$ e $K_{2,6}$ que não são B_1 -EPG, [1] e [2], entretanto são B_1 -EPG $_t$.

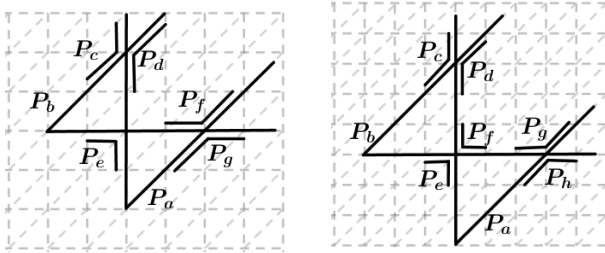


Figura 3: Exemplo de representação B_1 -EPG $_t$ para o grafo $K_{2,5}$ e $K_{2,6}$

É fato conhecido que em representações B_1 -EPG, é possível representar, no máximo, os ciclos de tamanho 4 por *true/false pie*, enquanto os ciclos C_n para $n \geq 5$ podem ser representados por *frames* ou outras estruturas distintas, [1]. A seguir, o Lema 5 nos mostra que o maior ciclo que conseguimos representar por *generic true pie* ou por *generic false pie* é o de tamanho 6 em B_1 -EPG $_t$.

Lema 5. Em qualquer representação B_1 -EPG $_t$, o grafo C_6 é maior ciclo induzido que pode ser representado por *generic true pie* ou por *generic false pie*.

Demonstração. Por contradição, considere que é possível obter representações C_n para $n > 6$ por *generic true/false pie* em B_1 -EPG $_t$. Distinguindo em casos, teremos:

- **Caso 1.** As representações de C_n para $n > 6$ são construídas por *generic true pie*. Veja que em uma *generic true pie* cada caminho P_i , onde $1 \leq i \leq n$, ou seja cada ‘fatia’ está contida em uma das 6 diferentes porções existentes, sempre respeitando a adjacência entre os caminhos do ciclo, definições 1 e 3. Perceba que pelo princípio da casa dos pombos teremos então 6 porções e 7 ou mais caminhos para alocar nestas porções, portanto necessitaremos alocar um ou mais caminhos na mesma porção, contrariando assim a definição de *generic true pie*.
- **Caso 2.** As representações de C_n para $n > 6$ são construídas por *generic false pie*. Sabemos que cada caminho P_i , onde $1 \leq i \leq n$, pode ser uma ‘fatia’ e pode estar contida em no máximo uma das 3 porções possíveis. Analogamente, até 3 desses caminhos cruzam o ponto central c . Note que, quando ampliamos para casos onde temos um $n > 6$, apesar de ser possível alocar esses novos caminhos na representação, estes não irão respeitar a adjacência existente entre os vértices do ciclo.

Considerando os Casos 1 e 2, podemos concluir que é um absurdo supor que é possível representar um C_n com $n > 6$ em B_1 -EPG $_t$ por *generic true/false pie*. Com isso, concluímos que, o grafo C_6 é, de fato, o maior ciclo induzido que pode ser representado por *generic true/false pie* em B_1 -EPG $_t$.

Resultados similares aos encontrados nesta pesquisa podem ser encontrados em [11].

IV. CONSIDERAÇÕES FINAIS

Esta pesquisa corresponde a um trabalho de investigação e exploração de uma classe de grafos pouco estudada na literatura. Os resultados preliminares são animadores e lançam luz sobre algumas questões ainda desconhecidas sobre a classe de grafos EPG $_t$. Na literatura existem poucos trabalhos que estudam a representação de grafos EPG sobre grades triangulares, podemos citar [11].

Há pontos positivos e negativos em se estudar uma classe de grafos tão pouco explorada. Como maior ponto positivo, vem o fato de a classe ser necessariamente pouco explorada, o que dá uma grande margem para levantamento de resultados inéditos. Talvez o pior contraponto seja o fato da escassez de material de pesquisa e consulta correlato.

Como trabalhos futuros desejamos saber se é possível delimitar uma família de subgrafos induzidos proibidos para B_1 -EPG $_t$. Seria também de interesse, investigar o parâmetro *bend number*, construir um mapeamento de relacionamento entre classes de grafos na hierarquia B_k -EPG $_t$, e investigar se existe um comportamento monótono na hierarquia B_k -EPG $_t$.

REFERÊNCIAS

- [1] M. C. Golumbic, M. Lipshteyn, and M. Stern, “Edge intersection graphs of single bend paths on a grid,” *Networks: An International Journal*, vol. 54, no. 3, pp. 130–138, 2009.
- [2] A. Asinowski and A. Suk, “Edge intersection graphs of systems of paths on a grid with a bounded number of bends,” *Discrete Applied Mathematics*, vol. 157, no. 14, pp. 3174–3180, 2009.
- [3] L. F. dos Santos Marinho, K. A. Silva, and T. D. dos Santos, “ B_2 -EPG Split,” *Academic Journal on Computing, Engineering and Applied Mathematics*, vol. 4, no. 1, pp. 1–7, 2023.
- [4] C. F. Bornstein, U. S. Souza, T. D. Santos, M. C. Golumbic, and J. L. Szwarcfiter, “The complexity of Helly- B_1 -EPG graph recognition,” *Discrete Mathematics & Theoretical Computer Science*, vol. 22, 2020.
- [5] C. F. Bornstein, G. Morgenstern, T. D. Santos, U. S. Souza, and J. L. Szwarcfiter, “Helly and strong Helly numbers of B_k -EPG and B_k -VPG graphs,” *Discussiones Mathematicae Graph Theory*, vol. 43, no. 4, May 2021.
- [6] T. D. dos Santos, “On the Helly property of some intersection graphs,” Ph.D. dissertation, Universidade Federal do Rio de Janeiro, 2020.
- [7] D. Heldt, K. Knauer, and T. Ueckerdt, “On the bend-number of planar and outerplanar graphs,” *Discrete Applied Mathematics*, vol. 179, pp. 109–119, 2014.
- [8] J. Cardinal, H. Ito, M. Korman, and S. Langerman, “Helly numbers of polyominoes,” *Graphs and Combinatorics*, vol. 29, no. 5, pp. 1221–1234, 2013.
- [9] Y. Zhang, Q. Shi, A. El-Makadema, L. Danoon, and A. K. Brown, “Triangular grid interconnected crossed rings antenna for large-scale ultra-wideband dual-polarised arrays,” *IET Microwaves, Antennas & Propagation*, vol. 14, no. 15, pp. 2115–2122, 2020.
- [10] N. A. Fleck, V. S. Deshpande, and M. F. Ashby, “Micro-architected materials: past, present and future,” *Proceedings of the Royal Society A: Mathematical, Physical and Engineering Sciences*, vol. 466, no. 2121, pp. 2495–2516, 2010.

- [11] V. T. de Luca, M. P. Mazzoleni, F. S. Oliveira, T. D. Santos, and J. L. Szwarcfiter, "Edge intersection graphs of paths on a triangular grid," *arXiv preprint arXiv:2203.04250*, 2022.
- [12] E. J. F. Primrose, "Combinatorial geometry in the plane. by h. hadwiger and h. debrunner. translated by v klee. pp. vii, 113. 30s. 1964. (holt, rinehart and winston, london)," *Mathematical gazette*, vol. 49, no. 367, pp. 112–112, 1965.
- [13] V. Klee, "What are the intersection graphs of arcs in a circle?" *The American Mathematical Monthly*, vol. 76, no. 7, pp. 810–813, 1969.
- [14] L. Alcón, F. Bonomo, G. Durán, M. Gutierrez, M. P. Mazzoleni, B. Ries, and M. Valencia-Pabon, "On the bend-number of circular-arc graphs as edge intersection graphs of paths on a grid," *Discrete Applied Mathematics*, vol. 234, pp. 12–21, 2016.